

تحليل التغيرات المكانية للبيئة الحيوية الساحلية في منطقة الشعيبة غرب المملكة العربية السعودية باستخدام تقنية الاستشعار عن بعد

ابتسام حسن عبدالرحمن عواري، وأمال محمد جان عبدالقادر ملا
قسم الجغرافيا - فرع البناء، كلية الآداب والعلوم الإنسانية
جامعة الملك عبد العزيز، جدة - المملكة العربية السعودية

المستخلاص. ركزت هذه الدراسة على تحليل التغيرات المكانية الحيوية للبيئة الساحلية في منطقة الشعيبة غرب المملكة العربية السعودية خلال الفترة من عام ٢٠٠٢ إلى ٢٠٠٨، للوقوف على الخصائص البيئية للمكان وتصنيف الأنشطة التي يمارسها الإنسان، وتحديد أثرها على المنطقة الساحلية ذات الطبيعة ذات الطبيعة الخاصة والظروف شديدة الحساسية للتغيرات المكانية الحديثة. واعتمدت الدراسة على بيانات المرئيات الفضائية لقمر الصناعي الفرنسي سبوت الخامس والقمر الأمريكي لاندسات الخامس والسابع لرصد معدلات التغيرات المكانية للبيئات الحيوية المختلفة على طول ساحل منطقة الدراسة. وأظهرت الدراسة أهمية استخدام تقنية تحليل المرئيات الفضائية، وجذب تطبيقها في مجال تتبع ظاهرة التصحر في المناطق الطبيعية. ومن أهم نتائج الدراسة تزايد التدهور البيئي من خلال انخفاض حد في مساحات التغطية النباتية في موقع الدراسة خلال الفترة من ٢٠٠٢ إلى ٢٠٠٨ حيث بلغت نسبة الفقد

في عام ٢٠٠٨ م منسوباً إلى عام ٢٠٠٢ م في مناطق الشعبية المفتوحة، والشعبية المسودة، وجنوب جزيرة السودة ٥٦٪، و٤٨٪، و٦٥٪ للمناطق الثلاث السابقة على التوالي.

المقدمة

في ظل الاهتمام المتزايد بالمشكلات البيئية وخطورة تلوث المناطق الساحلية نتيجة العبث بالمكونات الطبيعية للبيئات الساحلية واستنزافها، تتعرض تلك المناطق لتدور بيئي بشكل مستمر ينذر بحدوث مشاكل بيئية نتيجة التطور الصناعي والعمرياني على السواحل. وقد تتنوعت طرق العمل التي أجريت في هذا المجال، منها الدراسات التي قامت باستخدام تقنية الاستشعار عن بعد: فاستخدم تريبياثي وآخرون (Tripathi *et al.*, 1996) بيانات القمر الصناعي (Land sat TM) الأمريكي للفترة من ١٩٦١-١٩٩٦ م كجزء من مشروع لدراسة منطقة رانونج (Ranong) في تايلاند. وقد أظهر البحث جدوى استخدام النطاق الطيفي الأول Band في وصف مدى تدهور الوضع الراهن لغابات المانجروف (موقع المزارع)، وجدوى استخدام مركب اللون الزائف FCC 531 في دراسة المستنقعات المائية داخل المزارع. وأشارت الدراسة إلى حدوث تدهور بيئي كبير في غابات المانجروف الساحلية وتحولها من بيئات نباتية منتجة إلى أراضي ملحية غير صالحة للزراعة. واستخدم ثانيلاشalam وراماشاندران (Thanilachalam and Ramachandran, 2000) نظم المعلومات الجغرافية GIS لوصف التغيرات الطبوغرافية للمناطق المعرضة للتعرية على طول خليج منار Mannar في جنوب الهند، حيث تواجه المنطقة ضغوطاً بشريّة حادة في العشر سنوات الأخيرة. استخدمت الدراسة نظم المعلومات الجغرافية GIS من خلال معالجة بيانات القمر الصناعي الهندي IRS لسنوات مختلفة (١٩٦٩ - ١٩٧٥ - ١٩٩٨ م)، وخرجت الدراسة برصد التغيرات الطبوغرافية

للساحل من خلال رسم خريطة موضوعية (باثمترية) لقاع الخليج وخرطة لنمط استخدام الأرض، ومناطق ارتفاع التعرية، ومناطق التدهور البيئي في بيئات مختلفة على طول سواحل الخليج. وأشار بُشري (Boshra, 2002) إلى أهمية استخدام نظم المعلومات لبناء قاعدة بيانات بيئية EIS لمنطقة مرسى علم على ساحل البحر الأحمر. وقد اعتمدت الدراسة على قراءة الخرائط الطبوغرافية، والمسح الحقلـي، واستخدام نظم المعلومات الجغرافية GIS، من خلال دمج الشبكة الرقمية لقواعد بيانات مختلفة. وخرجت الدراسة بضرورة حماية الواقع البيئية الهامة ممثلة ببيئة المانجروف البعيدة عن المؤثرات البشرية في المنطقة. ودرس ناصر (٢٠٠١م) إمكانية تصنيف البيئات البحرية في الخليج. وأظهرت الدراسة إمكانية تقسيم الخليج إلى ثلاثة أقسام ظهر فيها أثر العوامل البيولوجية والفيزيائية كعوامل مساعدة في التصنيف بجانب حركتي المد والجزر. وتشير دراستا أحمد (Ahmed, 2002 & 2005) إلى جدوـى استخدام تقنية الاستشعار عن بعد في دراسة البيئات الساحلية للشواطـئ، خاصة النطاق الطيفي الأول (Band 1) والنطاق الطيفي الثاني (Band 2) عند دراسة المياه الضحلة. وتشير دراسة العلي (٢٠٠٦م) لخليـج الكويت إلى إمكانية تصنـيف البيئـات البحرـية الضـحلة، وتحديد خـصائـصـها البـاثـمـترـية، والتـغـيـراتـ المـكـانـيةـ التي طـرأـتـ عـلـيـهاـ منـ خـالـلـ تـطـوـيرـ مؤـشرـ الكـتلـ المـائـيةـ وـمـؤـشرـ البيـئـاتـ الـبـحـرـيةـ عـنـ تـحـلـيلـ المرـئـياتـ الفـضـائـيةـ لـفترـاتـ زـمنـيةـ مـخـتـلـفةـ. وـخـرـجـتـ الـدـرـاسـةـ بـأـنـ هـنـاكـ تـرـاجـعـ شـبـهـ كـامـلـ لـلـطـحـالـبـ الـحـمـراءـ يـقـابـلـهـ اـنـتـشـارـ وـاسـعـ لـلـطـحـالـبـ الـخـضـراءـ فـيـ الـخـلـيجـ. وـاسـتـخدـمـ يـانـجـ وـلـيـوـ (Yang and Liu, 2005) صـورـ الـأـقـمـارـ الصـنـاعـيـةـ وـنـظـمـ الـمـعـلـوـمـاتـ الـجـغـرـافـيـةـ لـاكتـشـافـ تـغـيـرـ نـمـطـ استـخدـامـ الـأـرـضـ فـيـ حدـ فـاـصـلـ لـمـصـبـ نـهـريـ، بـهـدـفـ تـطـوـيرـ طـرـيقـةـ مـحـسـنةـ لـاستـعـمـالـ الـأـرـضـ السـاحـلـيـةـ بـنـاءـ عـلـىـ إـعادـةـ التـصـنـيفـ الـمـكـانـيـ لـلـمـنـطـقـةـ. وـكـانـتـ مـنـ أـهـمـ نـتـائـجـ الـدـرـاسـةـ وـجـودـ ضـغـوطـ كـبـيرـةـ

على الأراضي الساحلية نتيجة النمو السكاني والسكنى أدى إلى زيادة عمليات قطع ونقل الأخشاب في مناطق المصب. واستعمل شن وآخرون (Chen *et al.*, 2005) الاستشعار عن بعد ونظم المعلومات الجغرافية في تحليل التغيرات الساحلية والتأثيرات البيئية في خليج لينج دينج Ling Ding في جنوب الصين، بهدف إبراز دور الاستشعار عن بعد في مراقبة ديناميكية المناطق الساحلية خاصة التوسيع الحضري وتغير نمط استخدام الأرض من عام ١٩٧٨-١٩٩٨م. وخرجت الدراسة بحوث هبوط لمنطقة القنوات المائية العميقه خلال السنوات الـ ٢٣ الماضية، وتوسيع الأراضي الحضرية المختلفة في المنطقة الساحلية خاصة النشاط الصناعي والسكنى. كما استخدم سيلرز (Sellers, 1985) وميانى وأخرون (Myneni *et al.*, 1995) قيم مؤشر القرينة النباتية NDVI لرصد مواسم الزراعة، ولقياس التغيرات الإيكولوجية للأراضي. وأظهرت الدراسة العلاقة الكبيرة بين المؤشر النباتي NDVI والمؤشر النباتي LAI. وأشارت إلى تعدد استخدامات مؤشر القرينة النباتية NDVI سواء من اللاقط متعدد الأطياف NOAA أو AVHRR يشتمل مجموعة من المعادلات الرياضية التي يرتبط فيها مؤشر القرينة النباتية NDVI مع المؤشرات الأخرى للخروج بقياسات بيئية أكثر تفصيلاً. واستخدم واير وهيرنج (Weier and Herring, 1999) مؤشر القرينة النباتية NDVI و EVI الخاص باستبعاد المؤشرات في عمليات الرصد كالسحب والغيوم، وذلك بتطبيق عدد من المؤشرات النباتية الخاصة بالكشف عن التغيرات المكانية والزمنية للظاهرات البيئية. كما طبق إيشيماما (Ishiyama, 1996) عدداً من المؤشرات النباتية - NDVI - OPVI على بعض المؤشرات النباتية في المناطق الجافة وشبه الجافة، والتي تقل فيها تغطية الغطاء النباتي، وتغطى فيها انعكاسات التربة على انعكاسات النبات. قام هويت (Huete, 1995) بدراسة

المؤشرات النباتية المطبقة في المناطق الجافة من خلال عزل تأثير انعكاس التربة عن انعكاسات النبات، حيث استخدم مؤسراً أسماه مؤشر ضبط التربة النباتي SAVI. وحل الغامدي (٢٠٠١م) بيانات القمر الصناعي SPOT، واعتمدت الدراسة أسلوب تحليل المركبات الأساسية (Principle Component)، وأظهرت إن طريقة العتبة هي الأكثر صحة والأسهل من استخدام الطرق الأخرى المستخدمة للكشف عن التغيرات المكانية. قام يانج وسو (Yang and Su, 1999) بتحليل البيانات الرقمية لأقمار مختلفة لدراسة الانعكاسات الطيفية لمزارع الأرز في تايوان، حيث طبقت عدة طرق في الدراسة تم فيها مقارنة وتحليل نقيات مختلفة استخدمت فيها البيانات الرقمية لأقمار مختلفة لقياس الفرق بين المؤشرات النباتية. قام غمراوي وعليم (Ghmrawy and Aleem, 1987) بدراسة بيئه المانجروف في منطقة الشعيبة، وخرجت الدراسة بتحديد أهم أنواع النباتات النامية طبيعياً في تلك المنطقة. وتناول السلمي (٢٠٠٨م) في دراسته ل المجتمعات المانجروف في منطقة الشعيبة أثر التسميد النيتروجيني على النمو الخضري، وتراتكم العناصر الغذائية في الأوراق والسوق. وركزت دراسة المفتى (١٩٩٠م) لمنطقة الشعيبة على الجزء النباتي، حيث جمعت العينات وتم تعريفها وتحديد خصائصها من حيث الارتفاع، والكتافة، وعلاقة هذه الأنواع بالترابة. وأظهرت الدراسة الحقلية إلى أنه لا يوجد بمنطقة الشعيبة سوى نوع واحد من أشجار المانجروف وهو (*Avicennia marina*). كما درست القاري (١٩٩٨م) الكفاء الخضري والتربة لقطاع من ساحل الشعيبة، وخرجت الدراسة بتحديد ٢٢ نوعاً نباتياً أظهرت ارتباطاً شديداً بين النباتات الملحية في منطقة الشعيبة.

ونتيجة للتغيرات في الأنظمة الطبيعية البيئية تحت تأثير التدخل البشري والأنشطة التحويلية التي يمارسها الإنسان، واستنزاف الموارد الطبيعية، وصرف

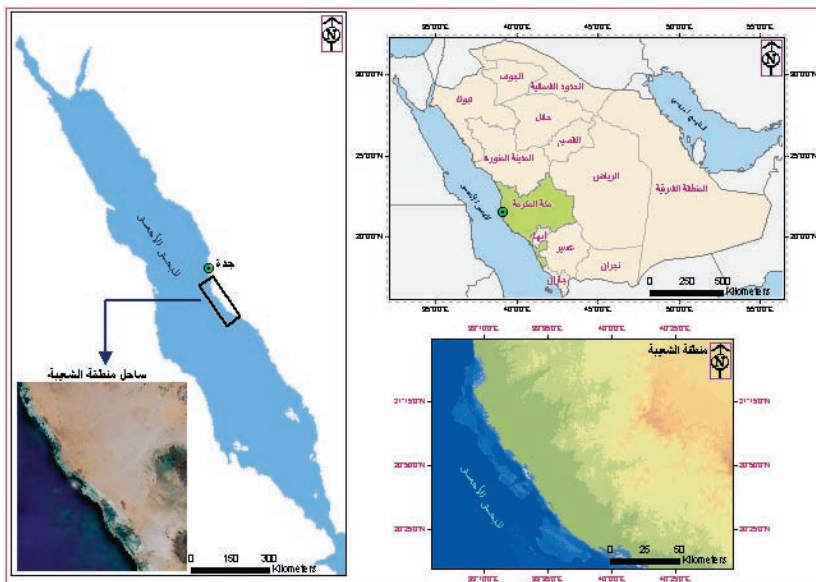
المخلفات المستهلكة وتأثيراتها السيئة على الغطاء النباتي والتربة، أصبح التدهور الحاد في مكونات البيئة الساحلية هو السمة السائدة. وتعتبر منطقة الشعيبة من المناطق البيئية الهامة على ساحل البحر الأحمر. فقد اتجهت هذه الدراسة الحالية إلى دراسة التجمعات النباتية فيها ومشاكلها البيئية، خاصة وإنها منطقة تجمع لنباتات المانجروف ذات الأهمية البيئية العالية، مع استعمال الرصد البيئي لموقع مختلف من تلك المنطقة، واستعمال التقنيات الحديثة بتحليل صور الأقمار الصناعية. وتتوفر نتائج هذه الدراسة معلومات علمية قيمة تفيد في التقييم البيئي والجغرافي لتلك المنطقة، وتضع أمام المخططين والمسؤولين البيانات المفيدة لوضع البرامج للمحافظة على تلك المنطقة وغطائها النباتي، بالإضافة إلى الحد من التأثيرات السيئة للملوثات التي تتعرض لها نباتات وتربة تلك المنطقة.

مواد وطرق البحث

منطقة الدراسة

أجريت هذه الدراسة في منطقة الشعيبة الساحلية الواقعة جنوب مدينة جدة، ضمن منطقة مكة المكرمة، غرب المملكة العربية السعودية، على ساحل البحر الأحمر ضمن دائريتي عرض "٣٩° ٥٥'، و"٣٩° ٤٥'" وخطي طول '٤٥° ٣٩'، و"٤٥° ٢٧'، و"٤٥° ٠٦' (شكل ١).

وتقع منطقة الشعيبة ضمن حدود ثلث مربعات فضائية للقمر الصناعي لاندستات TM5 والتي تحمل الأرقام التالية - 170/045- 170/046 Path/Row: 169/046 وبเดقة مكانية تميزية ٣٠ متراً، التقطت لمنطقة الدراسة في فترات زمنية متباعدة، وتقدر المساحة التقريبية لمنطقة الدراسة بحوالي ٤٦ كيلومتراً مربعاً.



شكل ١. موقع منطقة الشعيبة.

المصدر: أطلس خرائط المملكة العربية السعودية للفارسي ٢٠٠٢م، (مقياس رسم ١/٣٠٠٠٠٠).

جمع البيانات الحقلية

١. حددت موقع العشائر النباتية السائدة في منطقة الشعيبة من خلال الدراسة الحقلية.
٢. جمعت عينات النباتات من موقع الدراسة وتم تعريفها علمياً.
٣. تم رصد موقع التلوث المختلفة في منطقة الدراسة بواسطة تحديد موقع كل نقطة معاينة حقلية بجهاز تحديد الموقع GPS، ومن ثم ربطها بالصور الفضائية التي تغطي منطقة الدراسة.
٤. تم جمع البيانات الخاصة بالمرئيات الفضائية للقمر الفضائي الأمريكي Land Sat TM5، وتمت المعالجة المبدئية للمرئيات الفضائية للتحقق من صحة الاعتماد عليها.

تحليل الصور الفضائية

بالإضافة إلى الدراسة الحقلية، تم رصد التغيرات البيئية الساحلية لمنطقة الشعيبة باستخدام تقنية الاستشعار عن بعد لصور القمر الصناعي الفرنسي (HRG) ذو الحساسية الطيفية للقنوات B1-B2-B3 (Spot5) بدرجة وضوح مكاني ٢٠٠٦، ٢٠٠٢، ٢٠٠٨م على التوالي. وقد اعتمدت الدراسة على مرئيات جمعت في نفس الفصل المناخي لتقليل تأثيرات الانعكاسات الطيفية لرطوبة التربة والعوامل المناخية، وذلك للخروج التالي:

- رصد الوضع الراهن للبيئة النباتية في منطقة البحث من خلال قياس الذروة الانعكاسية للون الأخضر، وتقدير نشاطه. وقد تم ذلك بتطبيق مؤشر القرينة النباتية NDVI.
- تحليل التغيرات المكانية للبيئة الساحلية لمنطقة الشعيبة من خلال كشف التغيرات (change detection) في الغطاء النباتي.
- تحديد المناطق التي تعرضت للتغير أو التراجع النباتي.
- تطبيق بعض المؤشرات الطيفية للكشف عن التغير في البيئات الساحلية لمنطقة الدراسة ومنها مؤشر القرينة النباتية (Normalized Differential Vegetation Index) (NDVI) باستعمال المعادلة التالية:

$$\text{NDVI} = \frac{\text{IR}-\text{R}}{\text{IR}+\text{R}}$$

حيث: IR = المجال الطيفي تحت الأحمر القريب (near infra red band).

R = المجال الطيفي الأحمر المرئي (visible infra red).

التحليل الإحصائي

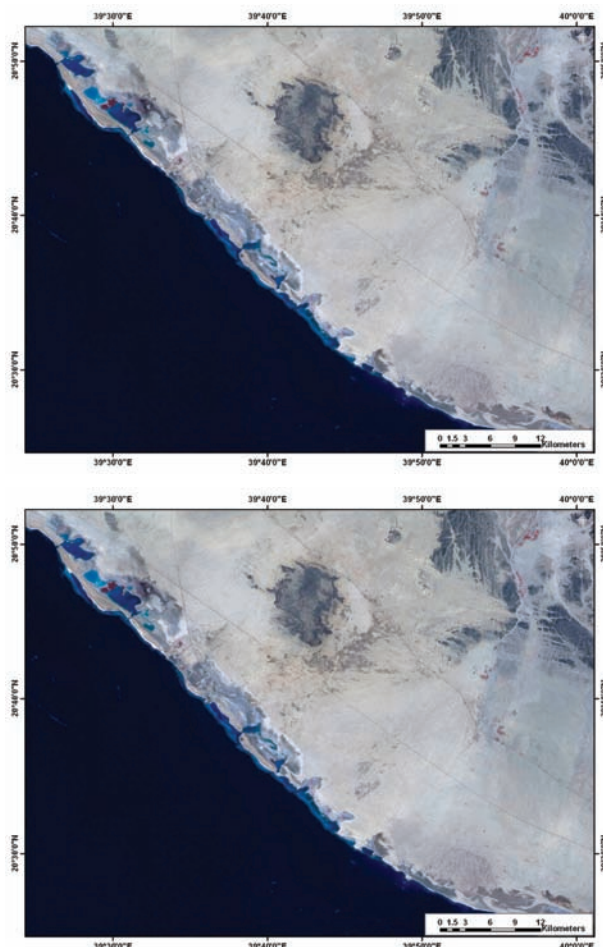
أجريت التحليلات الإحصائية للنتائج ورسم العلاقات طبقاً للنخلاوي (El-Nakhlawy, 2008).

النتائج والمناقشات

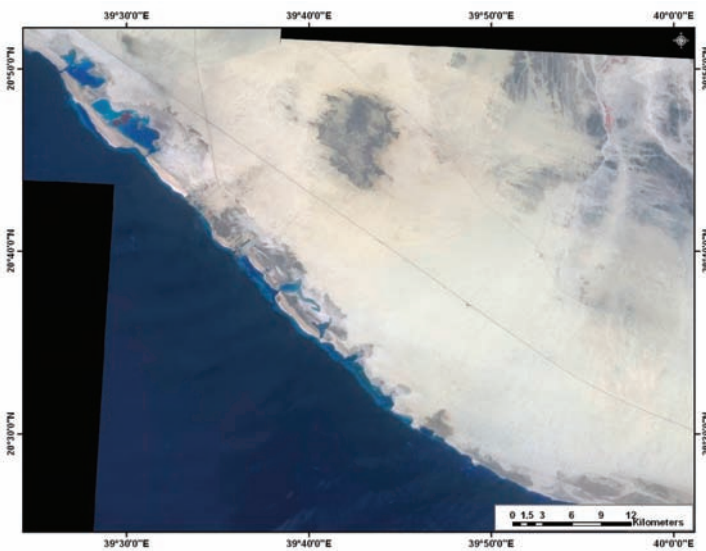
أولاً : التغيرات الإجمالية للغطاء النباتي في منطقة الدراسة

بناء على بيانات المرئيات الفضائية للقمر الفضائي الفرنسي (SPOT5) لوصف الغطاء النباتي في منطقة الدراسة، والتي يظهر فيها الغطاء النباتي باللون الأحمر أو ما يعرف بمؤشر اللون الكاذب (False Color Composite). ويمثل الشكلان (٢، ٣) حالات إنتاج المركب اللوني للسنوات ٢٠٠٢، ٢٠٠٦، و ٢٠٠٨م على التوالي. وكذلك تم تطبيق مؤشر القرینة النباتية (NDVI Normalized Differential Vegetation) للخروج بخرائط موضوعية لمنطقة الدراسة تظهر نسبة التغير في السنوات الثلاث المختارة على التوالي حيث تشير البقع البيضاء في اللقطات الفضائية إلى موقع انتشار الغطاء النباتي في منطقة الدراسة باستخدام مؤشر القرینة النباتية (NDVI). ويلاحظ أن هناك اختلاف في التدرج اللوني مابين سنوات الدراسة المختلفة، حيث تظهر المساحات التي تغطيها النباتات باللون الأبيض، والمساحات التي تخلو من النباتات باللون الرمادي إلى الرمادي الداكن. وتخالف درجة الرمادي بناءً على التفاوت المكاني في خصائص التربة من حيث درجة الرطوبة والتركيب المعدني. ويظهر الشكلان (٤، ٥) على التوالي وحسب البقع البيضاء في المرئيات الفضائية، أن أكبر تجمع للغطاء النباتي في منطقة الدراسة ظهر في بحيرة الشعيبة المسودة، ونظرًا لعدم توفر مرئيات فضائية للباحثة قبل عام ٢٠٠٢ تم اعتبار هذه المرئية سنة الأساس في المقارنة. وتشير المقارنة بين المرئيات الثلاث إلى زيادة طغيان اللون الرمادي على مرئية عام ٢٠٠٨ مقارنة بعامي ٢٠٠٦ و ٢٠٠٢ م مما يدل على زيادة انعكاسات التربة الخالية من الغطاء النباتي في عام ٢٠٠٨ على حساب انعكاسات النبات. وتعتمد عملية التميز بين النبات والتربة على نتيجة تطبيق مؤشر القرینة النباتية (NDVI) سابق الذكر،

ومن ثم استخدام التصنيف غير الموجه (unsupervised classification)، وذلك للخروج بخريطة موضوعية (Thematic map) تحدد المجموعات التصنيفية في نوعين فقط: الغطاء النباتي والأراضي الخالية من النبات (الأراضي الجرداء)، ويظهر الشكلان (٦)، و(٧) تطبيق الـ NDVI للأعوام ٢٠٠٢، ٢٠٠٦، و ٢٠٠٨م على التوالي.



شكل ٢. لقطة فضائية للقمر الفضائي SPOT5 لمنطقة الشعيبة لعامي ٢٠٠٢، ٢٠٠٦ و ٢٠٠٨م على التوالي.

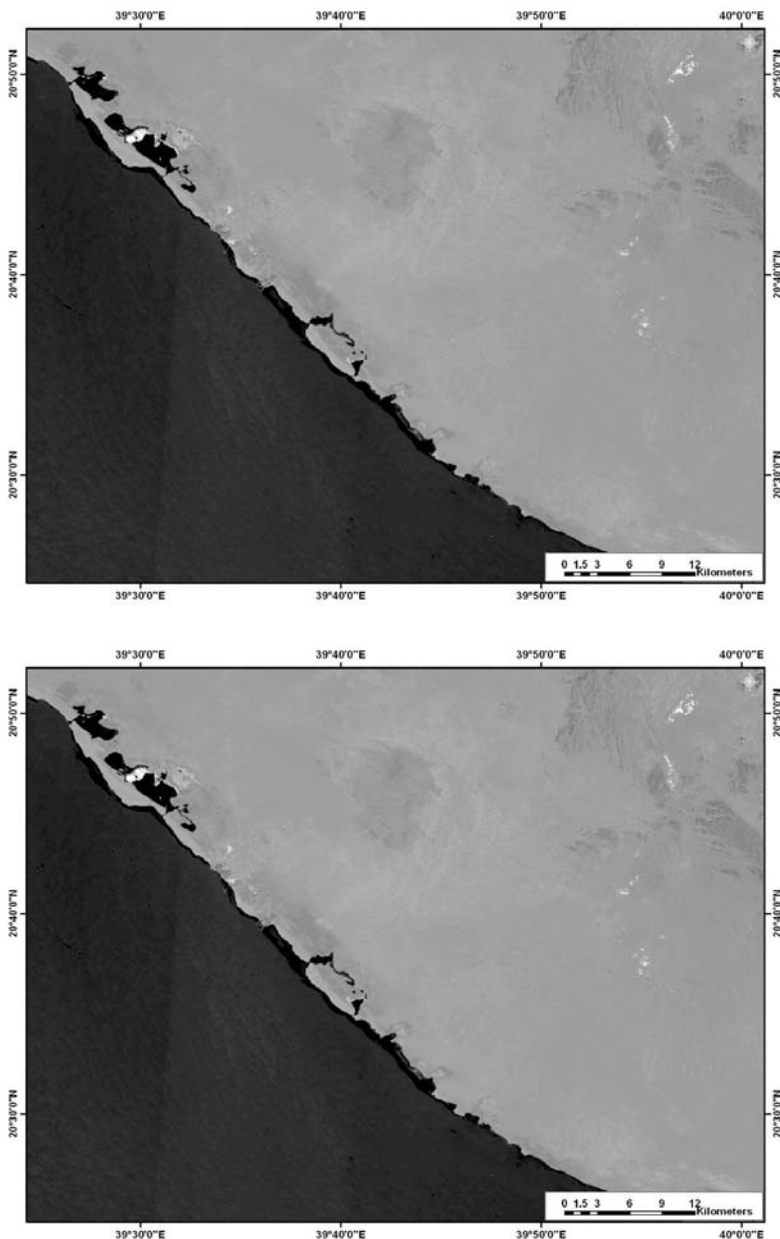


شكل ٣. لقطة فضائية للقمر الفضائي SPOT5 لمنطقة الشعيبة لعام ٢٠٠٨م.

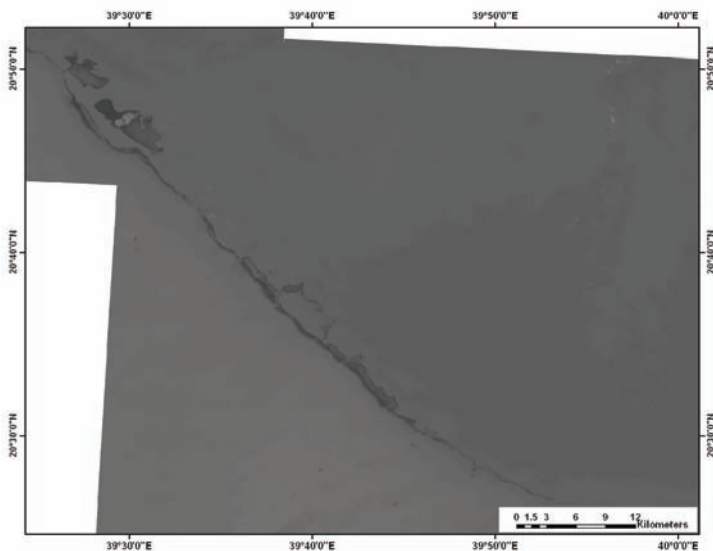
ونقدر المساحة التقريبية للشريط الساحلي لإجمالي مساحة منطقة الدراسة بحوالي ٤٦ كيلومترًا مربعًا، وتصل مساحة الغطاء النباتي في منطقة الدراسة حوالي ١٢٤ كيلومترًا مربعًا في سنة الدراسة ٢٠٠٨م بنسبة تصل إلى ٣٠٪ فقط من إجمالي مساحة منطقة الدراسة. وأظهرت النتائج كبر التجمع النباتي في منطقة الدراسة بمنطقة بحيرة الشعيبة المسدودة، لذا اقتطعت هذه المنطقة كجزء مكبر يظهر امتداد النبات في الأشكال السابقة.

وقد بلغت مساحة الأرضي الجرداة حوالي ١٣,١ كيلو متر مربع بنسبة تزيد عن ٩٪ من إجمالي مساحة منطقة الدراسة.

وتشير بيانات الجدول (١) إلى تراجع واضح في مساحة الغطاء النباتي في منطقة الشعيبة خلال سنوات الدراسة، حيث بلغت المساحة ٢,٩٣ كيلومتر مربع، و٢,٢٤ كيلومتر مربع، و١,٢٤ كيلومتر مربع لسنوات ٢٠٠٦، ٢٠٠٢، و٢٠٠٨م على التوالي.



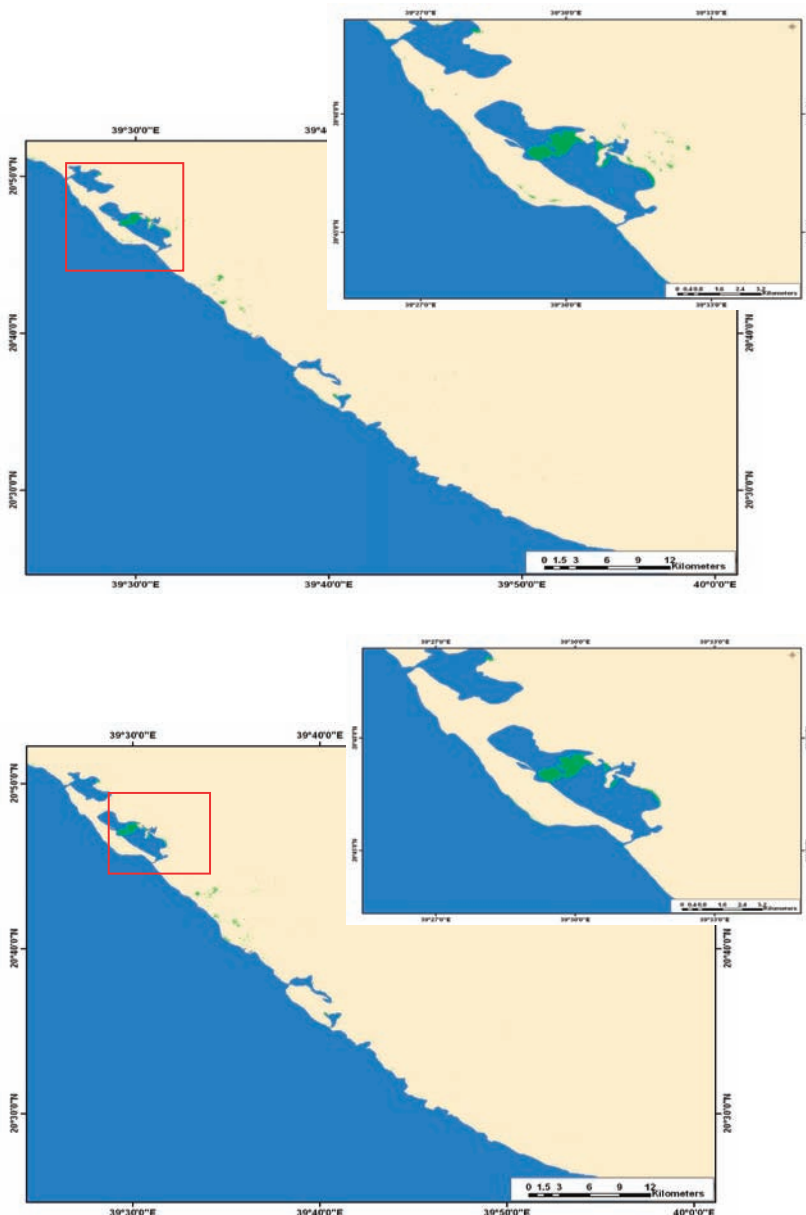
شكل ٤. مؤشر الـ NDVI لمنطقة الشعبية لعامي ٢٠٠٢، و ٢٠٠٦ م على التوالي.



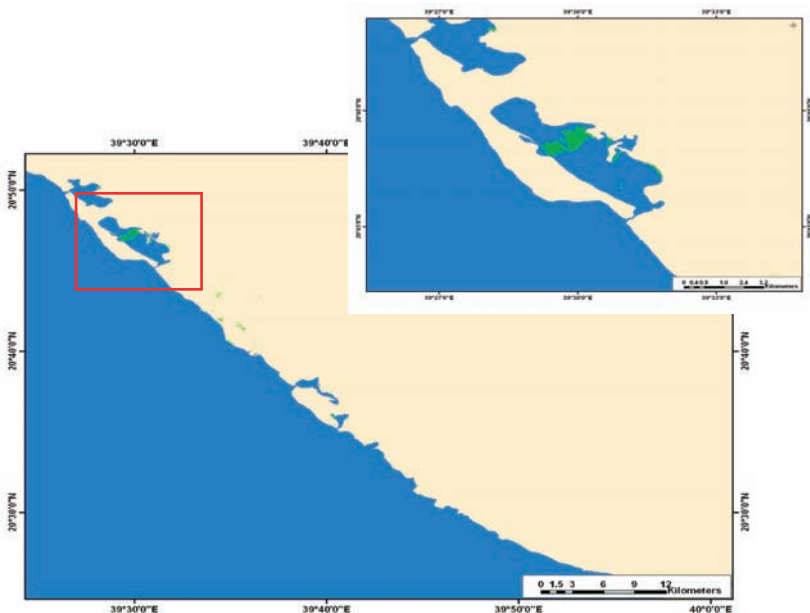
شكل ٥. مؤشر NDVI لمنطقة الشعيبة لعام ٢٠٠٨ م.

اعتمد استخلاص محاور التغير في امتداد الغطاء النباتي في منطقة الدراسة على تطبيق أسلوب حساب التغير المكاني النباتي في المرئيتين لفترتين مختلفتين، ويعرف هذا الأسلوب في مجال تحليل المرئيات الفضائية باسم التغير الموضوعي (Thematic change)، حيث تم تحديد المتغيرات التي طرأت على نتيجة التمييز بين النبات والتربة بين تاريخين مختلفين ولصغر مساحات التغطية النباتية في منطقة الدراسة تم التركيز في العرض على بحيرة الشعيبة المسودة كنموذج واضح لعمليات التغير في التغطية النباتية، ويظهر من خلال المعالجة الإحصائية للمرئيات السابقة (جدول ١) ومن تحليل الخريطة الموضوعية بالشكليين (٨، و ٩) الملاحظات التالية:

- تشير الدراسة إلى اختفاء مساحات من النباتات المتواجدة عام ٢٠٠٢ م خارج نطاق البيئة البحرية، خاصة النباتات العشبية الملحية حيث تظهر الدراسة تلاشياها عامي ٢٠٠٦، ٢٠٠٨ م.



شكل ٦. خريطة موضوعية لمؤشر NDVI لمنطقة الشعيبة عامي ٢٠٠٢، و ٢٠٠٦م على التوالي.

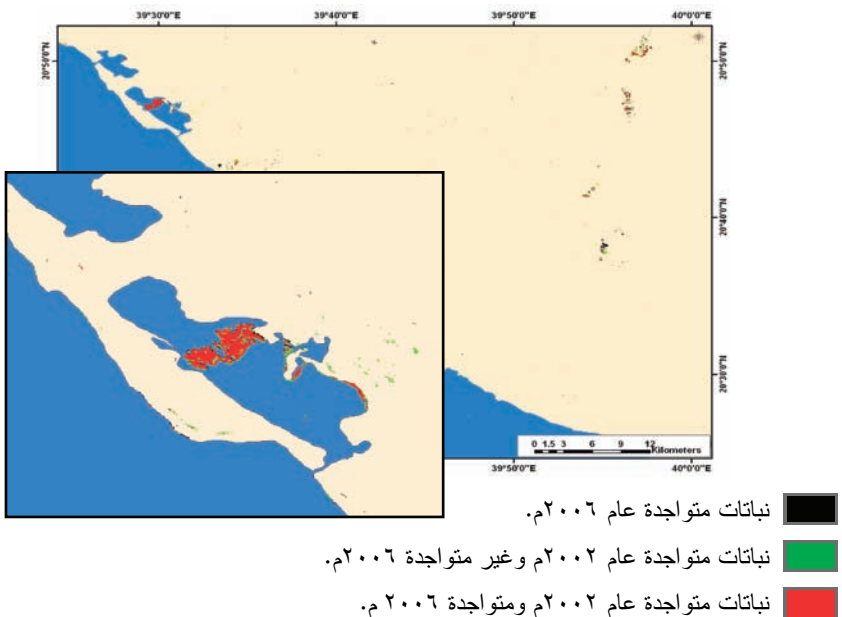


شكل ٧. خريطة موضوعية لمؤشر NDVI لمنطقة الشعبية عام ٢٠٠٨.

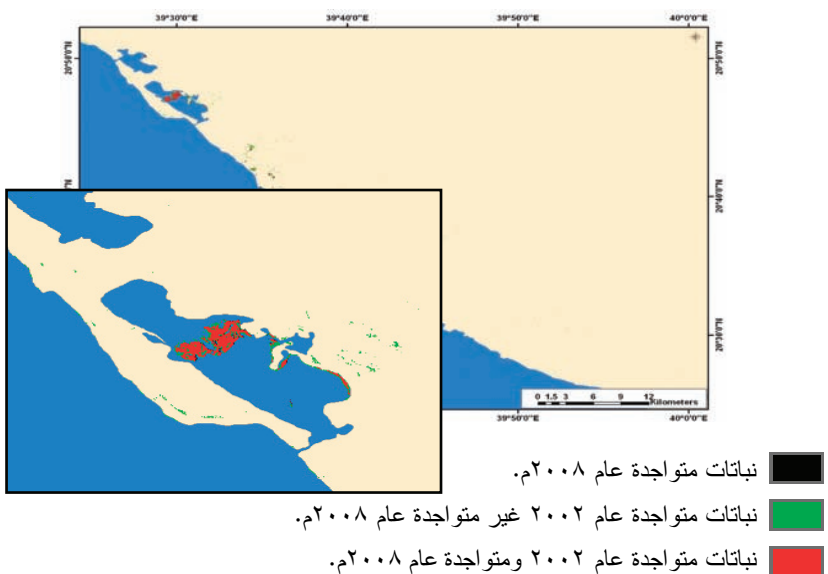
جدول ١. مساحة الغطاء النباتي الطبيعي في منطقة الشعبية خلال سنوات الدراسة

السنة	الغطاء النباتي الطبيعي (كم ^٢)
٢٠٠٢م	٢,٩٣
٢٠٠٦م	٢,٢٤
٢٠٠٨م	١,٤٢

- تشير الدراسة إلى زيادة مساحة اللون الأخضر الداكن على الغطاء النباتي المتواجد عام ٢٠٠٢م والمفقود في عامي ٢٠٠٦م و ٢٠٠٨م على التوالي.
- انخفاض مساحة الأراضي النباتية الجديدة (غير متواجدة في عام ٢٠٠٢م) والظاهرة باللون الأسود لعامي ٢٠٠٦م و ٢٠٠٨م على التوالي.



شكل ٨. التغير النباتي لعام ٢٠٠٦ م نسبة لتواجدها عام ٢٠٠٢ م في منطقة الدراسة.



شكل ٩. التغير النباتي لعام ٢٠٠٨ م نسبة لتواجدها عام ٢٠٠٢ م في منطقة الدراسة.

ثانياً: تغيرات الغطاء النباتي لجماعات المانجروف

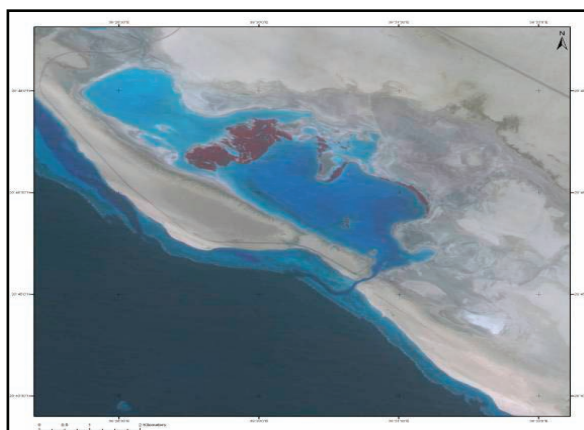
توضح الدراسات الحقلية أن القرم (*Avicennia marina*) هو النوع المحلي الوحيد من المانجروف الذي ينمو حاليا بصورة طبيعية على سواحل البحر الأحمر، وينتشر في منطقة الشعيبة. ويتراوح طول شجرة القرم (*Avicennia marina*) دائمة الخضرة بين مترين إلى عشرة أمتار بساق قصير ومتفرع وأوراق سميكة ملحية ونظام جذري ضحل بجذور هوائية تشبه قلم الرصاص وتتمو فوق السطح الملحي. ونتيجة للأهمية البيئية لمجتمع المانجروف في منطقة الدراسة، تم التركيز على ثلاثة مناطق من موقع المعاينة الحقلية لعام ٢٠٠٨ م التي تميزت بنمو واضح لنبات المانجروف، تمثلت في بحيرة الشعيبة المفتوحة في الشمال، وبحيرة الشعيبة المسدودة في الوسط، والأجزاء الجنوبية من جزيرة السودة في أقصى جنوب منطقة الدراسة.

جدول ٢. المساحة الكلية للغطاء النباتي للمانجروف في موقع المعاينة المختارة عام ٢٠٠٨.

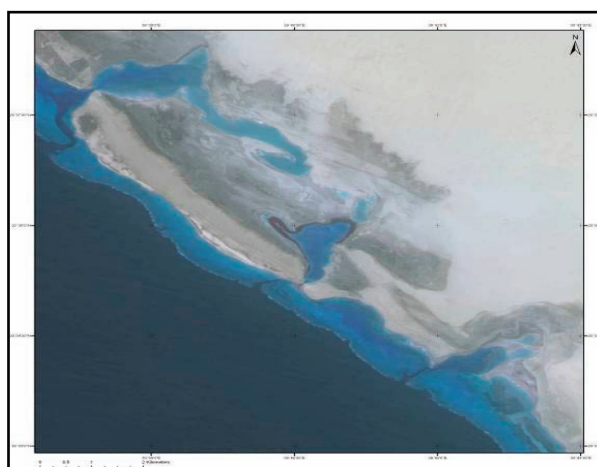
موقع المعاينة	المساحة (م٢)	النسبة من المساحة الكلية (%) للمعاينات
الشعيبة المفتوحة	٢٥٨٠٠	٢,٧
الشعيبة المسدودة	٨٩٦٥٠٠	٩٢,٩
جنوب جزيرة السودة	٤٢٧٠٠	٤,٤
الإجمالي	٩٦٥٠٠	١٠٠

وتوضح بيانات جدول (٢) والأشكال ١٠، ١١، ١٢ إلى أن إجمالي مساحة المانجروف في منطقة الدراسة حوالي ٩٦٥٠٠ متر مربع، كان النصيب الأكبر منها متواجداً في بحيرة الشعيبة المسدودة، وبلغت مساحتها تقريرياً ٨٩٦٥٠٠ مترًا مربعًا بنسبة ٩٢,٩٪ من إجمالي تغطية المانجروف في موقع المعاينة المختارة. ويفسر ذلك الظهور الواضح لهذا الغطاء النباتي عند معالجة المرئيات الفضائية لبحيرة الشعيبة المسدودة، ويلي ذلك الأجزاء الجنوبية من

جزيرة السودة والغنية بمجتمعات المانجروف حيث بلغت مساحته حوالي ٤٢٧٠٠ مترًا مربعًا بنسبة ٤,٤٪ من إجمالي مساحة موقع المعاينة، في حين سجلت الشعيبة المفتوحة في شمال منطقة الدراسة أصغر تغطية لنباتات المانجروف بمساحة بلغت حوالي ٢٥٨٠٠ مترًا مربعًا وذلك بنسبة ٢,٧٪ من إجمالي مساحة المانجروف في موقع المعاينة المختار.



شكل ١٠. مساحات تغطية المانجروف في الشعيبة المسدودة لعام ٢٠٠٨م.



شكل ١١. مساحات تغطية المانجروف في جنوب جزيرة السودة لعام ٢٠٠٨م.



شكل ١٢. مساحات تغطية المانجروف في الشعيبة المفتوحة لعام ٢٠٠٨ م.

وتطهر بيانات التغيرات في المساحة، ونسب فقد النباتي أو نسب تراجع نمو نباتات المانجروف في موقع الدراسة المختارة لسنوات ٢٠٠٢، ٢٠٠٦، و ٢٠٠٨ م موضحة في جدول (٣).

جدول ٣. مساحة نباتات المانجروف ونسبة فقد النباتي في مواقع الدراسة خلال الفترة ٢٠٠٢ إلى ٢٠٠٨ م.

موقع المعاينة المختارة	مساحة نباتات المانجروف م ^٢			نسبة فقد النباتي من ٢٠٠٢ إلى ٢٠٠٨ م (%)	نسبة فقد النباتي من ٢٠٠٢ إلى ٢٠٠٦ م (%)
	٢٠٠٨ م	٢٠٠٦ م	٢٠٠٢ م		
الشعيبة المفتوحة	٢٥٨٠٠	٣٣٨٠٠	٥٨٦٠٠	٤٢	٥٦
الشعيبة المسودة	٨٩٦٥٠٠	١٢٥٨٧٠٠	١٧٠٩٧٠٠	٢٦	٤٨
جنوب جزيرة السودة	٤٢٧٠٠	٥٣٣٠٠	١٢٢٢٠٠	٥٦	٦٥
الإجمالي	٩٦٥٠٠٠	١٣٤٥٨٠٠	١٨٩٠٥٠٠	٢٩	٤٩

وقد سجلت نباتات المانجروف في جنوب جزيرة السودة أعلى نسبة تراجع بلغت ٦٥٪، تليها منطقة الشعيبة المفتوحة بنسبة ٤٢٪، في حين سجلت منطقة الشعيبة المسودة أقل نسبة تراجع بلغت ٢٦٪ فقط في عام ٢٠٠٦ م نسبة لما

كان عليه عام ٢٠٠٢م. كما سجلت منطقة جنوب جزيرة السودة أعلى معدل فقد في عام ٢٠٠٨م نسبة لعام ٢٠٠٢م وصلت إلى ٦٥٪، تليها الشعيبة المفتوحة، ثم الشعيبة المسدودة بنسبة بلغت ٥٦٪، و٤٨٪ على التوالي. وتوضح نتائج الدراسة إلى أن معدلات الفقد النباتي في منطقة الشعيبة المسدودة زادت بنسبة ٢٢٪ في عام ٢٠٠٨م مقارنة بعام ٢٠٠٦م. وبناء على ماسبق، يلاحظ حدوث حالة من التدهور البيئي السريع في منطقة الدراسة خاصة في بيئات المانجروف، حيث لوحظ موت الجذور التنفسية لأشجار المانجروف في جنوب جزيرة السودة وتشي جذورها إلى الأسفل، ويمكن أن يرجع ذلك لتلوث سواحل الجزيرة القريبة من نطاق امتداد المانجروف ببقايا زيوت نفطية مرسبة على الطبقة العليا السفلية للتربة. وهذا يتفق مع دراسة السلمي (٢٠٠٨م)، والذي أشار إلى وجود هذه الظاهرة في تجمعات المانجروف النامية جنوب مدينة جدة، وتعرض إلى التلوث الناتج عن مياه الصرف الصحي الصناعي. ويمكن إرجاع ذلك أيضاً إلى التدخلات البشرية الحادة المتمثلة بإلقاء ودفن النفايات النفطية والصناعية خاصة في منطقة جنوب جزيرة السودة الذي يفسر التدهور الحاد في بيئه المانجروف في هذا الجزء من منطقة الدراسة، بالإضافة لإلقاء كميات كبيرة من النفايات البشرية المختلفة كنفايات المتزهين ومناطق تجمع الصيادين خاصة في منطقة الشعيبة المفتوحة. يرافق ذلك حدوث حالة من الجفاف المستمر في السنوات الأخيرة ساهم في زيادة نسبة الأملاح في هذه البيئات بحيث يكون عاملاً مساعداً ساهم في زيادة نسبة فقد الغطاء النباتي في عام ٢٠٠٨م و ٢٠٠٦م نسبة لمعدلات تغطيتها عام ٢٠٠٢م.

تنتفق الدراسة الحالية مع نتائج دراسات غمراوي وعليم (Ghmrawy and Aleem, 1987) والمفتري (١٩٩٠م) في أن قلة النباتات الخشبية دائمة الخضرة هي السمة السائدة في منطقة البحث وانحصرها على نباتات شبة خشبية ذات

جذور وتنية تنتشر في المواطن المحمية من الأمواج على خط الشاطئ والتي تمثل بنمو نباتات المانجروف.

وما توصلت اليه الدراسة من أهمية تجمعات المانجروف كبيئات وأنظمة حيوية منتجة يتفق مع رأي السلمي (٢٠٠٨م) الذي أشار إلى إن أشجار المانجروف تضيف النتروجين إلى بيئاتها في حين تعمل مجموعة أنواع أشجار المستنقعات الملحية كمستقبلات للنتروجين والعناصر الأخرى.

وأتفقت نتائج دراسات كل من ثانيا لاشالام وراماشاندران (Thanilachalam Ahmed, 2001)، وبشرى (Boshra, 2002)، وأحمد (and Ramachandran, 2000 Yang and Liu, 2005)، وشين وآخرون (Chen *et al.*, 2005)، ويانج وليو (& 2005)، وإيشيماما (Ishiyama, 1996) مع الدراسة الحالية بخصوص أهمية استخدام نظم المعلومات الجغرافية وتقنية الاستشعار عن بعد في الدراسات البيئية، خاصة دراسة التغيرات المكانية النباتية.

واعتمدت الدراسة الحالية تطبيق مؤشر القرينة النباتية NDVI في رصد وقياس التغيرات المكانية في الغطاء النباتي، نتيجة تحسن النقاط انعكاسات التمثيل الضوئي للنبات من خلال بيانات المرئيات للقمر الصناعي الفرنسي سبوت الخامس المحسن، ويتفق ذلك مع كل من واير وهارينج (Weier and Sellers, 1999)، وميانى وآخرون (Myneni *et al.*, 1995) و سيلرز (Herring, 1999)، ويختلف دراسة هويتى (Huete, 1995). كما اتفقت نتائج الدراسة الحالية مع دراسة راوس وآخرون (Rouse *et al.*, 1973) التي تؤكد أهمية استخدام مؤشر القرينة النباتية NDVI، والتي أشارت إلى أن الأسباب التي تعيق استخدام المؤشر قد تم معالجتها في الأقمار الصناعية الحديثة كالمستخدمة في البحث، كما تتفق نتائج الدراسة مع دراسة الغامدي (٢٠٠١م) الخاصة بأهمية استخدام

البيانات الرقمية للقمر الصناعي الفرنسي سبوت الخامس في كونها تقدم نتائج مرضية تكشف التغير المكاني كماً ونوعاً.

الوصيات

١. يجب أن يتم التركيز على تطهير منطقة الشعيبة من الملوثات البحرية، كالملوثات الناجمة عن زيوت العادم والوقود الثقيل، التي تم تسربه من بعض قوارب الصيادين، وكذلك الملوثات العضوية، بحيث يأتي تطهير هذه الملوثات البحرية ضمن نشاط ومهام الهيئات الحكومية والمؤسسات والقطاعات الخاصة ذات العلاقة.
٢. ضرورة فرض حماية على بيئات المانجروف خاصة في بحيرة الشعيبة المسدودة التي تشكل أكبر تجمع نباتي في منطقة الشعيبة.
٣. عمل دراسات لتحديد أفضل وأسرع الطرق لتجنب تأثير مياه الصرف الصحي غير المعالجة على بيئات المانجروف.

شكراً وتقدير

يعبر الباحثان عن وافر الشكر والتقدير لعمادة البحث العلمي بجامعة الملك عبدالعزيز على تمويل هذا البحث.

المراجع

- أولاً: المراجع العربية
- السلمي، ماجد (٢٠٠٨م) أثر التسميد النتروجيني على النمو الخضري وترابك بعض العناصر الغذائية بأوراق وسوق المانجروف، رسالة ماجستير، كلية الأرصاد والبيئة وزراعة المناطق الجافة، جامعة الملك عبدالعزيز، جدة.
- العلي، جاسم (٢٠٠٦م) تحليل التغيرات المكانية للبيئات البحرية في خليج الكويت، باستخدام تقنية الاستشعار عن بعد، قسم الجغرافيا، جامعة الكويت.

- الغامدي، سعد (٢٠٠١) اكتشاف التغير باستخدام البيانات الرقمية للأقمار الصناعية: دراسة تطبيقية على مدينة مكة المكرمة وما حولها، مجلة جامعة أم القرى، ١٣(١): ٦٢-٧٩.
- الفارسي (٢٠٠٢) أطلس خرائط المملكة العربية السعودية.
- القاري، هدى (١٩٩٨م) دراسة بيئية على الكساد الخضري والتربة لقطاع من ساحل الشعيبة بالمنطقة الغربية للمملكة العربية السعودية، رسالة ماجستير، قسم علوم الأحياء، كلية العلوم، جامعة الملك عبدالعزيز، جدة.
- المفتي، نبيل (١٩٩٠م) دراسات لبعض جوانب النظام البيئي لمانجروف منطقة الشعيبة، رسالة ماجستير، قسم علوم الأحياء، كلية العلوم، جامعة الملك عبدالعزيز، جدة.
- ناصر، لولوه (٢٠٠١م) *التلوث النفطي في البيئة البحرية بدولة الكويت*، مطبوعات مركز البحوث والدراسات النفطية، الكويت.

ثانياً: المراجع الأجنبية

- Ahmed, M.** (2002) Updating shoreline and sea bed changes of El-Dabaa Area using satellite data, *Final report for Nuclear Power Plants Authority*, Cairo, Egypt.
- Ahmed, M.** (2005) Using remote sensing Data for Assessing the Optical Characteristics of Alexandria coastal water, Egypt, Available at: www.clicktoconvert.com.
- Boshra, S.** (2002) *Biodiversity and GIS. Case study: Mersa Alam -Hammata Sector, Red Sea Coast*, Faculty of Science, University of Alexandria, Alexandria, Egypt, Available at: www.gis2.esri.com.library.
- Chen, S., Chen, L., Liu, Q., Li, X. and Tan, Q.** (2005) Remote sensing and GIS-based integrated analysis of coastal changes and their environmental impacts in Lingding Bay, Pearl River Estuary, South China, *Ocean & Coastal Management*, 48: 65-83.
- El-Nakhlawy, F. S.** (2008) *Principles of Statistics, Biostatistical Experimental Design and Analysis*, KAU Pub. Center., KSA.
- Ghmrawy, M. and Aleem, A.** (1987) Distribution of biota in *Avicennia marina* mangrove at Shoaiba, Red Sea coast of Saudi Arabia, *Res. Sci. K.A.U.*, 73-84.
- Huete, A.** (1995) *Soil Radiative Transfer Influences in Satellite Monitoring of Vegetation*, University of Arizona Tucson, Arizona.
- Ishiyama, T.** (1996) Vegetation Index algorithm for Vegetation Monitoringin Arid and semiarid Land, *Jounal of Arid Land Studies*, 6(1): 35-47.
- Myneni, R., Hall, F., Sellers, P. and Marshak, A.** (1995) The interpretation of spectral vegetation indexes, *IEEE Transactions on Geoscience and Remote Sensing*, 33: 481-486.
- Rouse, J., Haas, R., Schell, J. and Deering, D.** (1973) *Monitoring the vernal advancement and retrogradation (green wave effect) of natural vegetation*, Prog. Rep. RSC 1978-1, Remote Sensing Center, Texas A&M Univ., College Station, 93p. (NTIS No. E73-106393).

- Sellers, P.** (1985) Canopy reflectance, photosynthesis, and transpiration, *International Journal of Remote Sensing*, **6**: 1335-1372.
- Thanilachalam, M. and Ramachandran, S.** (2000) *Management of Coral Reefs in Gulf of Mannar Using Remote Sensing and GIS Techniques with Reference to Coastal Geomorphology and Land Use*, Institute for Ocean Management, Anna University, Chennai-600025(GISdevelopment.net).
- Tripathi, N., Annachhatre, A. and Patil, A.** (1996) *On the Role of Remote Sensing in Environmental Impact Analysis of Shrimp Farming*, Space Technology Application and Research Program, School of Advanced Technology, Klong Luang, Pathumthani 12120, Thailand, (GISdevelopment.net).
- Weire, J. and Herring, D.** (1999) Measuring Vegetation (NDVI & EVI), *Earth Observatory*, NASA. EO. Library.
- Yang, C. and Su, M.** (1999) Modeling rice growth from characteristics of reflectance spectra, *The 20th Asian Conference on Remote Sensing, Hong Kong, China*, November 22-25.
- Yang, X. and Liu, Z.** (2005) Using satellite imagery and GIS for land-use and land-cover change mapping in an estuarine watershed, *International Journal of Remote Sensing*, **26** (23): 5275-5296.

Analysis of Spatial Changes of Coastal Environments for the Shuaiba in the Western Region of Kingdom of Saudi Arabia Using Remote Sensing Technique

Ebtiesam Hassan Awari and Amal Mohamed Jan Mullah

*Department of Geography, Faculty of Education for Girls,
King Abdulaziz University, Jeddah, Saudi Arabia*

Abstract. This study was conducted through the analysis of the spatial changes of the coastal environment for Shoaiba region from the period 2002 to 2008 aiming to understand the environmental characteristics of the area, to classify the anthropogenic activities and to determine their effects on the coastal zone with its special nature and condition that is very sensitive to modern spatial changes. The present study is based on field data collected to monitor the present situation and those sent by the French satellite SPOT V and the American satellite LAND SAT V for different years to monitor the rate of spatial changes and their classification along the coast of the studied area. The study showed an increasing retrogression of the cover vegetative area especially the mangrove during the period of 2002 to 2008. The cover vegetative areas ratios in the Open Shoaiba, Closed Shoaiba and South Sauda region, are 56%, 48% and 65%, respectively.